

[研究简报]

香豆素类中药有效成分与牛血清白蛋白结合的构效关系

刘雪锋, 夏咏梅, 曹玉华, 方云, 邹珠燕, 毛本刚, 丁漪
(江南大学化学与材料工程学院, 无锡 214036)

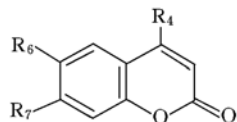
关键词 构效关系; 中药; 香豆素; 牛血清白蛋白; 荧光光谱

中图分类号 O648.162

文献标识码 A

文章编号 0251-0790(2006)01-0150-03

小分子(离子)与蛋白质和 DNA 等生物大分子间的相互作用一直是相关交叉领域的研究热点^[1~7], 本文主要用荧光光谱(FS)、紫外光谱(UV)从药物分子结构角度研究五种香豆素类中药有效成分 C I ~ C V (Scheme 1) 与牛血清白蛋白(Bovine Serum Albumin, BSA)结合时的构效关系.



R₄ = H, R₆ = H, R₇ = OH, Umbelliferone(C I); R₄ = H, R₆ = H, R₇ = OCH₃, 7-methoxycoumarin(C II);

R₄ = H, R₆ = OH, R₇ = OH, esculetin(C III); R₄ = CH₃, R₆ = H, R₇ = OH, 4-methyl-7-hydroxycoumarin(C IV);

R₄ = CH₃, R₆ = OH, R₇ = OH, 4-methyl-6,7-dihydroxycoumarin(C V).

Scheme 1 The molecular structure of pharmaceuticals

1 实验部分

1.1 试剂与仪器 C II (m. p. 117.5~118.3 °C, 96.8%), C IV (m. p. 186.7~187.5 °C, 99.4%) 和 C V (m. p. 275.5~276.0 °C, 98.4%) 均由实验室自制, 并经 UV, IR 和 MS 确证; 其它实验试剂和仪器与文献[6]相同.

1.2 实验过程 实验中为进一步抑制溶液中 BSA 二聚体(dimmer)形成, 维持溶液离子强度的 NaCl 浓度确定为 0.15 mol/L^[8], 其它实验过程与文献[6]相同.

2 结果与讨论

2.1 香豆素类中药有效成分与 BSA 的相互作用信息 C I ~ C V 与 BSA 结合后与 C III 类似都能猝灭 BSA 的内源荧光(图 1), 其荧光发射光谱分别在 393, 355, 420, 386 和 412 nm 附近出现等发射点, 表明这五种小分子分别与 BSA 结合形成包加复合物^[9].

按照文献[5,6]方法处理实验数据得到香豆素类药物-BSA 结合过程的荧光猝灭常数(K_{sv} 和 K_p)、表观结合常数 K_A 和结合位点数 n 、结合过程的热力学参数、药物的 UV 光谱与 BSA 的 FS 光谱的图谱重叠积分 J 、药物与 BSA 之间的能量转移效率 E 以及药物与 BSA 荧光

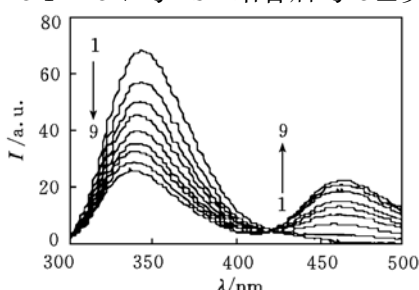


Fig. 1 Fluorescence spectra of C III binding with BSA

$\lambda_{ex} = 295$ nm; 50 mmol/L Tris-HCl buffer solution; pH = 7.4; 0.15 mol/L NaCl; 37 °C; BSA 1.0×10^{-5} mol/L; C III (10^{-5} mol/L) from 1 to 9; 0; 0.5; 1.0; 1.5; 2.0; 2.5; 3.0; 3.5 and 4.0.

收稿日期: 2005-02-03.

基金项目: 江南大学自然科学预研基金(批准号: 2004LYY019)资助.

联系人简介: 方云(1957 年出生), 男, 教授, 博士生导师, 从事胶体与界面科学和酶催化研究. E-mail: yunfang@126.com

性氨基酸残基间的平均空间距离 r 等作用参数(表 1).

Table 1 The interaction parameters of pharmaceutical-BSA binding process

Pharmaceutical	$t/^\circ\text{C}$	C I	C II	C III	C IV	C V
$10^{-4}K_{\text{sv}}/(L \cdot \text{mol}^{-1})$	30	3.72 ($R^2 = 0.9905$)	3.30 ($R^2 = 0.9926$)	4.45 ($R^2 = 0.9927$)	3.93 ($R^2 = 0.9914$)	6.00 ($R^2 = 0.9764$)
	37	3.62 ($R^2 = 0.9930$)	3.19 ($R^2 = 0.9917$)	4.22 ($R^2 = 0.9940$)	3.40 ($R^2 = 0.9908$)	5.58 ($R^2 = 0.9798$)
$10^{-4}K_p/(L \cdot \text{mol}^{-1})$	30	2.26 ($R^2 = 0.9988$)	2.11 ($R^2 = 0.9965$)	2.54 ($R^2 = 0.9960$)	2.34 ($R^2 = 0.9981$)	3.06 ($R^2 = 0.9984$)
	37	2.23 ($R^2 = 0.9973$)	2.10 ($R^2 = 0.9957$)	2.46 ($R^2 = 0.9952$)	2.24 ($R^2 = 0.9983$)	2.94 ($R^2 = 0.9989$)
$10^{-4}K_a/(L \cdot \text{mol}^{-1})$	30	4.97 ($R^2 = 0.9950$)	4.50 ($R^2 = 0.9937$)	5.82 ($R^2 = 0.9943$)	6.13 ($R^2 = 0.9975$)	8.47 ($R^2 = 0.9962$)
	37	4.80 ($R^2 = 0.9917$)	4.58 ($R^2 = 0.9939$)	5.58 ($R^2 = 0.9926$)	5.20 ($R^2 = 0.9985$)	8.11 ($R^2 = 0.9914$)
n	30	1.76	2.04	1.54	2.39	1.82
	37	1.73	2.22	1.61	2.38	1.97
$\Delta H/(kJ \cdot mol^{-1})$	30	-3.75	1.77	-4.60	-18.46	-4.88
	37	-3.75	1.77	-4.60	-18.46	-4.88
$\Delta G/(kJ \cdot mol^{-1})$	30	-27.24	-26.99	-27.64	-27.77	-28.58
	37	-27.78	-27.66	-28.17	-27.98	-29.13
$\Delta S/(J \cdot mol^{-1} \cdot K^{-1})$	30	77.53	94.93	76.04	30.72	78.22
	37	77.54	94.93	76.04	30.71	78.22
$10^{15}J/(L \cdot mol^{-1} \cdot cm^3)$	30	6.30	6.97	15.32	11.34	15.98
	37	6.42	7.02	15.32	11.36	15.92
$E(\%)$	30	23.11	20.41	25.86	23.14	28.48
	37	22.99	19.84	24.47	23.01	27.42
r/nm	30	2.89	3.01	3.26	3.18	3.22
	37	2.90	3.04	3.30	3.19	3.24

鉴于低温下的 K_{sv} 和 K_p 比高温下的大, 由 $K_{\text{sv}} = k_q \times \tau_0 (\tau_0 \text{ 取为 } 10^{-8} \text{ s}^{[10]})$ 计算得 k_q 的量级为 10^{12} (均远大于各种猝灭体对生物大分子的最大动态猝灭速率常数为 $2 \times 10^{10} \text{ L}/(\text{mol} \cdot \text{s}^{-1})^{[10]}$), 可推断 5 种香豆素类中药对 BSA 内源性荧光主要不是以分子扩散控制的动态猝灭而是静态猝灭, 此结论与出现等发射点和包加复合物形成等实验结果一致。由 $\Delta G < 0$, $\Delta S > 0$, 表明结合过程是熵增加、Gibbs 自由能降低的自发过程, 熵增加是上述药物与 BSA 结合的共同热力学驱动力。根据文献[11]的结论推断, C II 与 BSA 分子间疏水相互作用是其结合过程的另一种主要驱动力, 而其余 4 种药物分子与 BSA 分子之间除疏水作用外还有偶极-偶极静电相互作用。 r 数据表明中药小分子能够插入 BSA 分子内部, 非辐射能量转移与静态猝灭均是药物对 BSA 荧光猝灭的成因。

2.2 香豆素类中药有效成分与 BSA 结合的构效关系 表 1 中 K_p , K_a 和 E 随分子结构变化存在 $C \text{V} > C \text{III} > C \text{IV} > C \text{I} > C \text{II}$ 的规律。经比较可发现: (1) $C \text{I} > C \text{II}$, 表明 7-取代基的极性减小和取代基体积增大不利于药物与 BSA 结合; (2) $C \text{IV} > C \text{I}$ 以及 $C \text{V} > C \text{III}$, 表明 4-甲基能够促进药物与 BSA 结合; (3) $C \text{III} > C \text{I}$ 以及 $C \text{V} > C \text{IV}$, 表明 6-羟基也能促进香豆素类药物与 BSA 结合; (4) $C \text{V} > C \text{III} > C \text{I}$, 说明当香豆素类中药分子中香豆素环上既有 4-甲基又有 6-羟基时, 此两类基团都具有增效作用。但表 1 中 r 随药物分子结构的变化规律与上述规律不完全一致, 这可能是由于 4-甲基以及 6-羟基虽有利于增大香豆素类中药有效成分与 BSA 结合的推动力, 但同时使分子尺寸增大或极性增大, 对药物向 BSA 分子中疏水性空腔内插入产生负效应, 故使得 n 和 r 的变化规律与 K_p , K_a 和 E 随中药分子结构的变化规律并不完全一致。

表 2 归纳了 C I ~ C V 分子结构变化对药物-BSA 结合过程的相关参数的影响, 分子中引入 4-甲基对药物-BSA 结合具有显著的增效作用, 能够较大程度地克服由空间位阻增大导致的负面影响; 引入 6-羟

Table 2 The structure-performance relationship of pharmaceutical -BSA binding process*

Parameters	4-Me	6-OH	7-OCH ₃	Parameters	4-Me	6-OH	7-OCH ₃
K_p	+	+	-	E	+	+	-
K_a	+	+	-	r	-	-	-
n	+	-	+	$ \Delta G $	+	+	-

* Annotation: + means K_p , K_a , n , E , $|\Delta G|$ increasing and r decreasing, contrarily, - means K_p , K_a , n , E , $|\Delta G|$ decreasing and r increasing.

基对药物-BSA 结合总体具有增效作用，但不足以完全抵消分子极性及空间位阻增大等负面影响；7-取代基的极性减小以及取代基体积增大不利于药物-BSA 的结合作用，其效应与引入 6-羟基几乎恰好相反。

参 考 文 献

- [1] Shen X. C., Liang H., Guo J. H. *J. Inorg. Biochem.* [J], 2003, **95**: 124—130
- [2] HAN Mei-Jiao(韩美娇), WANG Ke-Zhi(王科志), LÜ Yuan-Yuan(吕媛媛) *et al.* *Chem. J. Chinese Universities(高等学校化学学报)* [J], 2004, **25**(12): 2221—2223
- [3] Xu T. W., Fu R. Q., Yan L. F. *J. Colloid Interf. Sci.* [J], 2003, **262**: 342—350
- [4] Peng Z. G., Hidajat K., Uddin M. S. *J. Colloid Interf. Sci.* [J], 2004, **271**: 277—283
- [5] LIU Xue-Feng(刘雪峰), XIA Yong-Mei(夏咏梅), FANG Yun(方 云) *et al.* *Chem. J. Chinese Universities(高等学校化学学报)* [J], 2004, **25**(11): 2099—2103
- [6] LIU Xue-Feng(刘雪峰), XIA Yong-Mei(夏咏梅), FANG Yun(方 云) *et al.* *Acta Chimica Sinica(化学学报)* [J], 2004, **62**(16): 1484—1490
- [7] Liu X. F., Xia Y. M., Fang Y. *J. Inorg. Biochem.* [J], 2005, **99**: 1449—1457
- [8] Hunter A. K., Carta G. *J. Chromatog. A* [J], 2001, **937**: 13—19
- [9] YU Tian-Zhi(俞天智), TAO Zu-Yi(陶祖贻). *Spectrosc. Spectr. Anal. (光谱学与光谱分析)* [J], 1999, **19**(3): 453—455
- [10] Jiang C. Q., Gao M. X., Meng X. Z. *Spectrochim. Acta Part A* [J], 2003, **59**: 1605—1610
- [11] Ross P. D., Subramanian S. *Biochemistry* [J], 1981, **20**: 3096—3102

Structure-performance Relationship of some Chinese Herb Components Containing Structural Unit of Coumarin During Binding to Bovine Serum Albumin

LIU Xue-Feng, XIA Yong-Mei, CAO Yu-Hua, FANG Yun*,

ZOU Zhu-Yan, MAO Ben-Gang, DING Yi

(School of Chemical and Material Engineering, Southern Yangtze University, Wuxi 214036, China)

Abstract The interaction between bovine serum albumin(BSA) and five active components of Chinese Herb C I —C V containing structural unit of coumarin was investigated by ultraviolet(UV) and fluorescence spectroscopy(FS). The intrinsic fluorescence of BSA was quenched by pharmaceuticals *via* forming pharmaceutical-BSA complexes. The quenching mechanism is mainly a combination of static quenching with nonradiative energy transfer. The parameters of pharmaceutical-BSA binding process, such as statistic quenching constant K_p , the apparent association constant K_A , the value of binding site n , the efficiency of energy transfer E , the spatial distance r and ΔG were obtained. The above parameters disclose the structural-performance relationship of pharmaceutical-BSA interaction as follows. The process of pharmaceutical-BSA binding is promoted strongly by both 4-methyl and 6-hydroxyl in coumarin molecule, but the latter must endure simultaneously some adverse effects caused by increment of molecular polarity and stereo hindrance. Decreasing the polarity of 7-substituent group and increasing the volume of substituting group destroys the pharmaceutical-BSA binding, and the effect is almost totally opposite to that of 6-hydroxyl.

Keywords Structural-performance relationship; Chinese Herb; Coumarin; Bovine serum albumin; Fluorescence spectroscopy

(Ed. : D, I)